

**بهبود بخشی نمودار پارتو در بهینه‌سازی توپولوژی چند هدفه با المان‌های چندضلعی غیریکنواخت\***مهناز اکبرزاجی<sup>(۱)</sup>بهروز احمدی ندوشن<sup>(۲)</sup>

**چکیده** یکی از روش‌های پیشنهادی برای کاهش وزن سازه‌ها، معرفی فضاهای خالی در سازه است. این موضوع ایده‌ی اولیه شکل‌گیری بهینه‌سازی توپولوژی است. یکی از مشکلاتی که در مسائل بهینه‌سازی توپولوژی با المان‌های چهارضلعی مشاهده می‌شود، مسئله‌ی ایجاد پدیده‌ی شطرنجی است. به‌طور کلی گسسته‌سازی که تخمین بهتری از دامنه پیوسته ارائه دهد، ایجاد پدیده‌ی شطرنجی را کاهش می‌دهد. یک راهکار برای جلوگیری از پدیده‌ی شطرنجی در مسائل بهینه‌سازی توپولوژی استفاده از المان‌های چندضلعی است. در این مقاله، دو مثال با دامنه طراحی محدب و غیر محدب برای بررسی کاربرد المان‌های چندضلعی غیریکنواخت در بهینه‌سازی توپولوژی چندهدفه تحلیل شده و نتایج نشان دهنده کاهش زمان محاسبات و بهبود نمودار پارتو با المان غیریکنواخت می‌باشند.

**واژه‌های کلیدی** بهینه‌سازی توپولوژی چندهدفه، نمودار پارتو، المان‌های چندضلعی، الگوریتم لوید، نمودار ورونوی.

### Improvement of Pareto Diagrams in Topology Optimization Using Unstructured Polygonal Finite Element

M. Akbarzaghi

B. Ahmadi-Nedushan

**Abstract** One of approaches in weight reduction of structures is introduction of gaps in the design domain. This basic idea has led the formation of topology optimization algorithms. One of the problems frequently seen in topology optimization problems using common elements such as square or rectangular elements is the checkerboard phenomenon. Generally speaking, any discretization scheme that can better estimate the continuous design domain results in reducing the checkerboard phenomenon. In this article, the unstructured polygonal finite elements are used for discretization of design domain. Two examples corresponding to convex and nonconvex design domains are investigated and improved results and Pareto charts are presented in comparison to results obtained from using the square elements. The results demonstrate that using polygonal elements results in preventing the checkerboard phenomenon and reduction of computation time.

**Key Words** Multi-objective topology optimization; pareto diagram; polygonal finite element; Lloyd's algorithm; Voronoi diagrams.

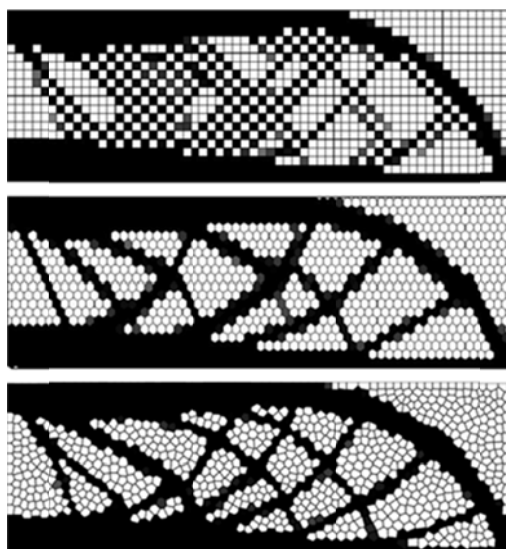
\* تاریخ دریافت مقاله ۹۵/۴/۲۶ و تاریخ پذیرش آن ۹۶/۶/۳۰ می‌باشد.

(۱) نویسنده مسئول، کارشناسی ارشد، گروه عمران، دانشکده فنی و مهندسی و دانشگاه یزد

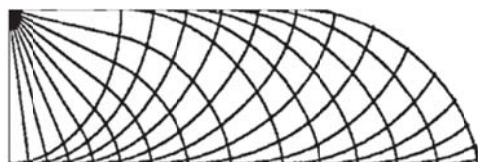
Email: Mahnaz.akbarzaghi@gmail.com

(۲) دانشیار، گروه عمران، دانشکده فنی و مهندسی و دانشگاه یزد

که ردیف بالا مش‌بندی با المان چهارضلعی و ردیف وسط مش‌بندی با المان شش‌ضلعی (لانه‌زنبوری) استفاده شده‌است. همانطور که در شکل مشاهده می‌گردد مش‌بندی با المان‌های چهارضلعی، الگوهای شطرنجی ایجاد می‌شود. الگوهای شطرنجی دارای سختی کاذب هستند که در مقابل، راه‌حل مش‌بندی‌های با المان‌های چندضلعی (لانه‌زنبوری و غیریکنواخت) از چنین ناهنجاری‌های آزاد هستند و سختی کاذب ندارند [3]. باید به این نکته اشاره کرد که به‌منظور مدل کردن یک دامنه با مرز مستقیم استفاده از المان شش‌ضلعی، باید یک‌لایه المان مثلثی و چهارضلعی در امتداد مرز قرار دهیم که این در مش‌بندی یکنواخت مناسب نیست و از معایب مش‌بندی شش‌ضلعی می‌باشد [5].



شکل ۲ راه‌حل توپولوژی برای مسئله تیر MBB بدون هرگونه محدودیت اضافی. بالا: مش‌بندی مربعی. وسط: مش‌بندی لانه‌زنبوری. پایین: مش‌بندی چندضلعی غیریکنواخت



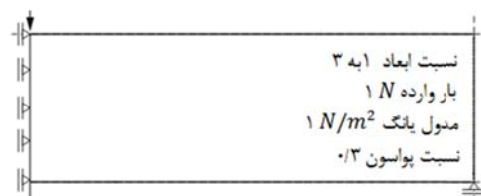
شکل ۳ طرح نهایی تیر MBB با توجه به طرح میشل [6]

همان‌طور که مشاهده شد نتایج بهینه‌سازی

## مقدمه

در گذشته از المان‌های چهارضلعی و مثلثی در زمینه‌ی بهینه‌سازی توپولوژی استفاده می‌کردند، با این حال این المان‌ها به‌طور متداول، دچار ناپایداری عددی از جمله پدیده شطرنجی در مسائل بهینه‌سازی توپولوژی می‌شدند، که می‌توان از فیلترینگ برای از بین بردن ناپایداری عددی از جمله پدیده شطرنجی استفاده کرد. استفاده از فیلترینگ می‌تواند مشکل بهینه‌سازی را افزایش دهد [1,2]. یک‌راه حل عملی برای از بین بردن چنین مشکلاتی، استفاده از المان محدود شش‌ضلعی (لانه‌زنبوری) است. استفاده از المان‌های شش‌ضلعی بدون اعمال هرگونه محدودیت، مشکل پدیده شطرنجی را از بین می‌برد و علت آن این است که المان‌های شش‌ضلعی یا به یکدیگر اتصال ندارند یا توسط دو گره و یک ضلع با یکدیگر اتصال دارند [3]. یکی از مشکلات استفاده از شبکه‌های یکنواخت مانند المان‌های لانه‌زنبوری، مشکل گسسته‌سازی دامنه طراحی و دقت در نشان‌دادن بارگذاری و شرایط مرزی است. المان‌های چندضلعی غیریکنواخت با فراهم کردن گسسته‌سازی انعطاف‌پذیرتر در دامنه‌های پیچیده، می‌تواند در گسسته‌سازی بهینه‌سازی توپولوژی مفیدتر باشد [4].

در ادامه، مثال تیر MBB با دامنه و شرایط بارگذاری مطابق شکل (۱) بهینه‌سازی توپولوژی را بدون محدودیت اضافی با استفاده از روش‌های مختلف مش‌بندی بررسی شده است.



شکل ۱ دامنه و شرایط بارگذاری تیر MBB با مشخصات مصالح استفاده شده در آن

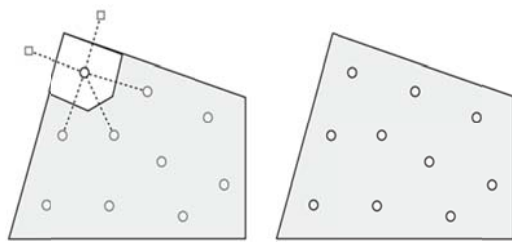
در شکل (۲) نتایج بهینه‌سازی توپولوژی ارائه شده

۲. برای ایجاد تقریب مناسب از دامنه، نقاط داخلی باید نسبت به لبه دامنه منعکس شوند. مجموعه نقاط به دست آمده را نقاط کمکی  $P_{aux}$  می نامند.

۳. دیاگرام ورونوی با نقاط  $P = P_{aux} \cup P_{int}$  ساخته می شود.

۴. گسسته سازی چندضلعی از دامنه توسط المان های در ارتباط با نقاط ایجاد می شود.

از این روش در شکل (۴) برای تولید یک المان پنج ضلعی، استفاده شده است [4,9].



شکل ۴ تولید المان غیریکنواخت. راست: قرارگیری نقاط تصادفی. چپ: ساخت دیاگرام ورونوی با مجموعه نقاط تصادفی و کمکی (مربع).

برای ساخت چنین مش بندی هایی بعد از پراکنده شدن نقاط تصادفی، برای تقریب دامنه، نقاط نسبت به مرز منعکس می شوند. اما انعکاس بسیاری از نقاط در درون دامنه، هیچ تأثیری در تقریب دامنه ندارد. بنابراین شرط زیر برای انعکاس نقاطی که در نزدیکی مرز لحاظ می شود و این هزینه و زمان محاسبات را کاهش می دهد:

$$|d_{\Omega_i}(y)| < \alpha(n, \Omega) \quad (1)$$

که در آن  $\alpha(n, \Omega)$  یک مقدار فاصله متناسب با عرض المان است که طبق رابطه زیر محاسبه می شود:

$$\alpha(n, \Omega) := c \left( \frac{|\Omega|}{n} \right)^{1/2} \quad (2)$$

برای پیدا کردن بازتابی از  $x$  نسبت به نزدیک ترین نقطه مرزی استفاده می شود. بازتاب ها با علامت  $R_{\Omega}(x)$  مشخص می شود و طبق رابطه زیر به دست

توپولوژی مش بندی با المان های چندضلعی غیریکنواخت از المان های مربعی و لانه زنبوری بهتر عمل می کند و به طرح نهایی ارائه شده توسط میشل مطابق شکل (۳) نزدیک تر است. بنابراین در ادامه این مقاله از مش بندی غیریکنواخت استفاده شده و مزایای آن در مسائل بهینه سازی توپولوژی چندهدفه با حل دو مثال با دامنه ی محدب و غیرمحدب بررسی می گردد.

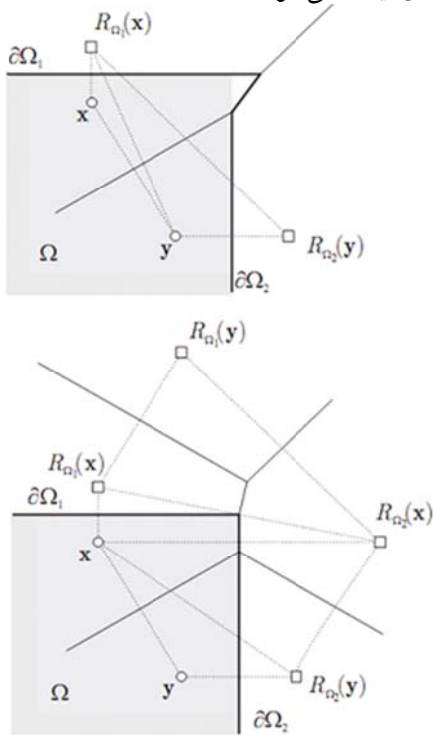
### ساخت المان های چندضلعی غیریکنواخت

المان های چندضلعی غیریکنواخت با فراهم کردن گسسته سازی انعطاف پذیرتر در دامنه های پیچیده، می تواند در گسسته سازی بهینه سازی توپولوژی مفیدتر باشد. در ساخت این المان ها، از نمودار ورونوی به عنوان وسیله برای تولید المان های چندضلعی نامنظم استفاده می شود [7]. از ویژگی های جالب این روش این است که سطوح تصادفی و با همسانی هندسی از قرار دادن نقاط دلخواه و کاملاً تصادفی به دست می آید و در ادامه از الگوریتم لوید برای یکنواخت کردن المان ها استفاده می شود [8].

**مش بندی اولیه و دیاگرام ورونوی.** برای تولید مش بندی ها غیریکنواخت، از نمودار ورونوی برای گسسته سازی دامنه استفاده می شود. گسسته سازی دامنه با استفاده از روش المان های غیریکنواخت دارای تقریب مناسبی از مرز است. هم چنین از روش لوید برای ایجاد یک توزیع دانه های یکنواخت و در نتیجه ساخت مش بندی با کیفیت بالا استفاده می شود. مش بندی چندضلعی با استفاده از مجموعه نقاط تصادفی در دامنه  $\Omega$  و همچنین نقاط کمکی برای تقریب شرایط مرزی  $\partial\Omega$  ایجاد می شود. به طور کلی از روش زیر برای مش بندی اولیه استفاده می شود:

۱. در داخل دامنه  $\Omega$  مجموعه نقاط تصادفی به تعداد مورد نظر تولید می شوند. به این مجموعه نقاط  $P_{int}$  می گویند.

می‌آید: بعد از انعکاس نقاط و با استفاده از نقاط تصادفی، تقسیم‌بندی و رونوی صورت گرفته و با استفاده از آنها مش‌بندی ایجاد می‌شود.



شکل ۶ برای ایجاد یک گوشه دقیق، نیاز به بازتاب نقاط نسبت به هر دو بخش مرز در گوشه است.

**الگوریتم لوید.** نظم نمودار و رونوی به‌طور کامل توسط مجموعه نقاط تولیدشده تعیین می‌شود. یک مجموعه مولد تصادفی یا شبه تصادفی ممکن است به یک گسسته‌سازی که برای استفاده و تحلیل المان محدود مناسب نیست، منجر شود. بنابراین باید یک مجموعه‌ای از تقسیم‌بندی و رونوی که یک سطح بالاتری از نظم را دارد، را بدست آورد. یکی از الگوریتم‌های پرطرفدار برای ساخت مش‌بندی چندضلعی، طرح تکراری الگوریتم لوید است [8]. الگوریتم لوید با کاهش انرژی به صورت محلی همگرا می‌شود. مراحل انجام الگوریتم لوید به شرح زیر قابل بیان است:

۱. ساختن نمودار و رونوی در ارتباط با نقاط
۲. محاسبه مرکز جرم هر سلول

$$R_{\Omega}(x) = x - 2d_{\Omega}(x)\nabla d_{\Omega}(x) \quad (۳)$$

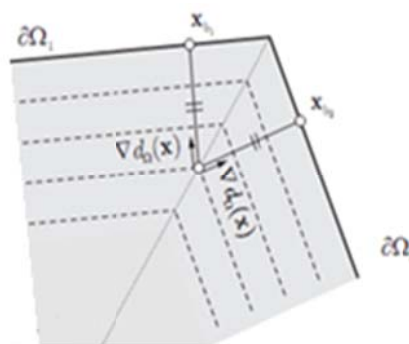
که در آن  $\nabla d_{\Omega}$  جهت نزدیک‌ترین نقطه مرزی را می‌دهد و تابع فاصله  $d_{\Omega}(x)$  به صورت زیر تعریف گردد. اگر  $\Omega$  زیرمجموعه‌ای از  $\mathbb{R}^2$  با شرایط مرزی مشخص باشد، تابع فاصله مربوط به  $\Omega$  با  $d_{\Omega}: \mathbb{R}^2 \rightarrow \mathbb{R}$  با رابطه زیر تعریف می‌شود:

$$d_{\Omega}(x) = s_{\Omega} \min_{y \in \partial\Omega} \|x - y\| \quad (۴)$$

در آن  $\partial\Omega$  نشان‌دهنده مرز  $\Omega$  است، بنابراین  $\|x - y\|$  فاصله اقلیدسی بین دو نقطه‌ی  $x$  و  $y$  روی مرز دامنه است و تابع  $s_{\Omega}$  در رابطه زیر تعریف شده است:

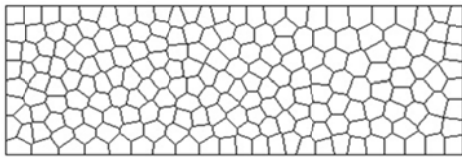
$$s_{\Omega}(x) = 1 - 2\chi_{\Omega}(x) \begin{cases} -1 & x \in \Omega \\ 1 & x \in \Omega' \end{cases} \quad (۵)$$

در بازتاب نقاط گاهی همانند شکل (۵) نقطه‌ای مانند  $x$  دارای فاصله‌ی مساوی با دو مرز می‌باشد، آنگاه  $\nabla d_{\Omega}(x)$  به صورت واحد وجود ندارد و در این حالت  $x$  باید نسبت به هر دو مرز منعکس شود.

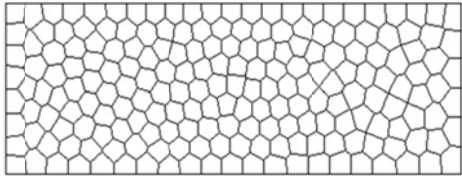


شکل ۵ نقطه  $x$  در بیش از یک نقطه، فاصله مساوی از  $\partial\Omega$  است

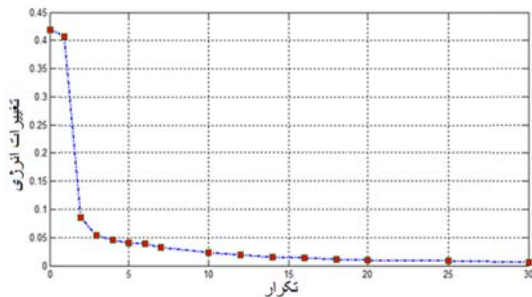
همچنین در بازتاب نقاط نسبت به مرز باید توجه کرد که انعکاس یک نقطه نسبت به نزدیک‌ترین مرز مطابق شکل (۶) ممکن است برای یافتن گوشه مناسب کافی نباشد و این مشکل توسط انعکاس نقطه نسبت به هر دو بخش مرز مجاور، حل و فصل می‌گردد.



شکل ۸ تکرار دهم الگوریتم لوید  $\epsilon = 0.002301$



شکل ۹ تکرار آخر الگوریتم لوید  $\epsilon = 0.0004850$



شکل ۱۰ نمودار کاهش انرژی با توجه به تکرار الگوریتم لوید

### بررسی توابع شکل و تقریب سازی به وسیله المان‌های ایزوپارامتریک

همان‌طور که از نتایج الگوریتم لوید مشخص است المان‌های ایجاد شده، به صورت چندضلعی‌های غیریکنواخت هستند و تعداد اضلاع و شکل آن‌ها باهم متفاوت است. در این مقاله، برای تقریب‌سازی توابع شکل از المان‌های ایزوپارامتریک استفاده می‌شود. منظور از المان ایزوپارامتریک این است که همه محاسبات بر مبنای توابع شکل یکسانی انجام می‌گیرد. برای این منظور توابع شکل بر روی یک المان استاندارد با مختصات  $\xi = (\xi_1, \xi_2) \in \Omega_0$  تعریف می‌شود که این نوع مختصات نوعی مختصات گرانیگاهی است که مرکز دستگاه، مرکز جرم آن المان است. فرمول المان محدود  $N$  ضلعی که شامل درون‌یابی توابع شکل و تقریب-

۳. جایگزین کردن نقاط اصلی با مجموعه نقاط ثقلی و رفتن به گام بعد مگر اینکه به همگرایی رسیده باشد.

در الگوریتم لوید، مرکز ثقل هر قسمت به صورت زیر محاسبه می‌شود و جایگزین نقاط اولیه می‌گردد:

$$y = y_c \rightarrow y_c := \frac{\int_{V_{y \cap \Omega}} x \mu(x) dx}{\int_{V_{y \cap \Omega}} \mu(x) dx} \quad (6)$$

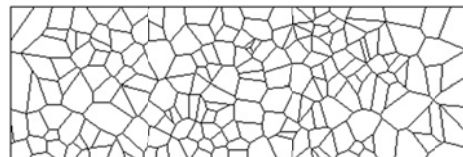
در آن  $\mu(x)$  تابع چگالی تعریف شده روی  $\Omega$  است. از این رو، در تقسیم‌بندی‌های ایجاد شده، هر نقطه‌ی  $y$  تولید شده هم‌زمان با نقطه ثقلی  $y_c$  نیز مرتبط است. بعد از جایگزین شدن نقاط  $y_c$  به جای نقاط قبلی، انحراف نقاط تولید شده در هر تاحیه ورونوی، توسط تابع انرژی طبق رابطه زیر اندازه‌گیری می‌شود:

$$\epsilon(P, \Omega) = \sum_{y \in P} \int_{V_{y \cap \Omega}} \mu(x) \|x - y\|^2 dx \quad (7)$$

دیده می‌شود که تابع انرژی در تکرار متوالی از الگوریتم لوید کاهش می‌یابد که در رابطه زیر نشان داده شده است:

$$\epsilon(P_{i+1}, \Delta) \leq \epsilon(P_i, \Delta) \quad (8)$$

به این معنی که الگوریتم لوید می‌تواند به عنوان یک روش نزولی برای تابع انرژی مشاهده شود [10]. مشاهده می‌شود که مش‌بندی با افزایش تکرار الگوریتم لوید بهبود می‌یابد و المان‌های یکنواخت‌تری ایجاد می‌گردد و این ویژگی در شکل (۷) تا (۹) به خوبی نشان داده شده است. همچنین مقدار کاهش تابع انرژی ناشی از انحراف نقاط تولید شده در تکرارهای مختلف در شکل (۱۰) نشان داده شده است و مشاهده می‌شود که مقدار کاهش تابع انرژی در تکرارهای اول بیشتر از تکرارهای بعدی آن است [۱۱].



شکل ۷ تکرار اول الگوریتم لوید  $\epsilon = 0.4192$

به نواحی مرزی است. تنها کمیت‌های معین در مسئله‌ی بهینه‌سازی توپولوژی، بارهای وارده، شرایط تکیه‌گاهی، حجم سازه و ممکن است محدودیت‌هایی نظیر موقعیت و ابعاد نواحی توخالی و توپر نیز مشخص باشد، اما اندازه، شکل و ارتباط بین اجزای تشکیل‌دهنده‌ی سازه مجهول است. بهینه‌سازی توپولوژی در واقع انتخاب هم‌زمان توپولوژی (نحوه‌ی ارتباط نواحی تشکیل‌دهنده سازه)، شکل و اندازه اعضا تشکیل‌دهنده سازه می‌باشد. بهینه‌سازی توپولوژی به دلیل اینکه در مقایسه با دیگر روش‌های بهینه‌سازی حجم بیشتری از مصالح را کاهش می‌دهد از درجه اهمیت بالایی برخوردار است [1].

همان‌طور که قبلاً بیان شد در طراحی توپولوژی به دنبال پیدا کردن مکان بهینه برای مواد ایزوتروپیک داده‌شده هستیم، یعنی باید نقاطی را که از مواد تشکیل‌شده یا فضای خالی هستند مشخص شود همچنین برای سهولت ساخت و اجرا، نتایج طراحی باید به نحوی باشد که تمام فضای طراحی تقریباً از نواحی توپر یا توخالی تشکیل شده باشد. متداول‌ترین شیوه برای حل این‌گونه مسائل (اصلاح مسئله)، جایگزین کردن مقادیر پیوسته به جای مقادیر گسسته و سپس استفاده از نوعی جریمه برای میل دادن جواب به مقادیر گسسته (۰-۱) است [13]. یکی از روش‌هایی که کارایی مؤثری برای این‌گونه مسائل دارد مدل سختی نسبی جریمه‌شده یا مدل SIMP است که به صورت زیر بیان می‌شود [13]:

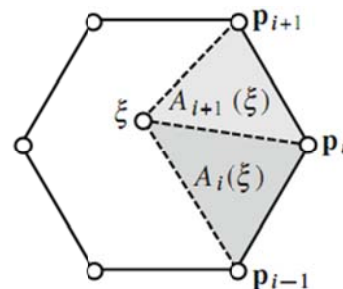
$$E_i(x) = [\varepsilon + (1 - \varepsilon)\rho(x)^p] E_i^0, p > 1 \quad (12)$$

در اینجا  $\rho(x)$  چگالی و تابع متغیر طراحی است. دلیل اینکه از  $\rho$  استفاده شده، این است که چگالی خصوصیات مصالح را بین ۰ و  $E_i^0$  درون‌یابی می‌کند و  $E_i^0$  ماتریس سختی اولیه در المان  $i$  ام است و  $P$  همان جریمه برای میل دادن جواب به مقادیر گسسته می‌باشد. حال برای بررسی پارامتر جریمه و نحوه انتخاب آن یک مسئله تیر MBB با دامنه محدب (شکل ۱۲) مورد بررسی قرار گرفته است. تیر MBB با ابعاد  $3 \times 1$  که در

سازی با المان ایزوپارامتریک بررسی می‌گردد.

برای  $n$  ضلعی منتظم رأس‌های  $n$  ضلعی به صورت زیر تعریف می‌شوند:

$$\left(\cos \frac{2\pi}{n}, \sin \frac{2\pi}{n}\right), \left(\cos \frac{4\pi}{n}, \sin \frac{4\pi}{n}\right), \dots \quad (9)$$



شکل ۱۱ تصویری از یک المان و مثلث‌های ساخته‌شده با آن

درون‌یابی تابع شکل مربوط به گره  $i$  ام به صورت زیر تعریف می‌شود (شکل ۱۱):

$$N_i(\zeta) = \frac{\alpha_i(\zeta)}{\sum_{j=1}^n \alpha_j(\zeta)} \quad (10)$$

که در آن  $\alpha_i(\zeta)$  به صورت زیر تعریف می‌شود:

$$\alpha_i(\zeta) = \frac{1}{A(P_{i-1}, P_i, \zeta)A(P_i, P_{i+1}, \zeta)} \quad (11)$$

که  $A$  مساحت مثلث با موقعیت رئوس داخل پراکنز می‌باشد.

بدیهی است که توابع شکل در امتداد لبه‌ی چندضلعی خطی هستند و خاصیت دلتای کرنوکر را برآورده می‌کند و همچنین توابع شکل غیر منفی هستند و جمع آن‌ها برابر با یک می‌باشد.

با توجه به این خواص، توابع شکل می‌تواند برای ساخت نقشه‌های ایزوپارامتریک برای هر  $n$  ضلعی محدب استفاده شود برای توضیح کامل‌تر این مبحث، خوانندگان به مرجع [12] ارجاع می‌گردند.

### استفاده از مش‌بندی چندضلعی در بهینه‌سازی توپولوژی چندهدفه

هدف اصلی در بهینه‌سازی توپولوژی پیدا کردن چیدمان بهینه یک سازه در ناحیه معین برای انتقال بارهای وارده

حداقل رساندن نرمی [18] و غیره می‌باشند. برخلاف مسائل بهینه‌سازی تک هدفه، مسائل بهینه‌سازی چندهدفه، حل واحد کلی ندارند و بلکه در این گونه مسائل، جواب مسئله به صورت دسته جواب بهینه پارتو ارائه می‌شود. در مقاله، دو تابع هدف نرمی و حجم به صورت زیر در نظر گرفته می‌شود:

$$f_1 = J(\rho, u) = f^T u \quad (13)$$

$$f_2 = V(\rho) = \int \rho dv \quad (14)$$

که در آن  $f_1$  تابع هدف نرمی است که به چگالی (متغیر طراحی) و جابجایی وابسته است و  $f_2$  تابع هدف حجم می‌باشد که فقط به چگالی وابسته است. برای ردیابی بهینه‌سازی توپولوژی دو هدفه با توابع مشخص شده، از نرم‌افزار متلب استفاده شده و نزدیک به ۴۵۰ خط برنامه مربوطه نوشته شده است که ۲۱۶ خط مربوط به مش‌بندی چندضلعی غیریکنواخت و ۱۹۰ خط مربوط به تعریف توابع هدف و ردیابی نمودار پارتو در توپولوژی چندهدفه و حدود ۵۰ خط مربوط به تعریف دامنه‌های مختلف طراحی می‌باشد. بعد از نوشتن کدهای مربوطه، با دادن هر دامنه طراحی (محدب و غیر محدب) با هر شرایط مرزی می‌توان نمودار پارتو و نتایج آن را به دست آورد.

به دامنه  $\Omega$  از فضای  $\mathbb{R}^n$  یک دامنه محدب گفته می‌شود هرگاه برای هر دو نقطه از دامنه  $x$  و  $y$  از  $\Omega$  و هر  $0 \leq t \leq 1$  رابطه زیر برقرار باشد.

$$(1-t)x + ty \in \Omega \quad (15)$$

در ادامه مثال تیر MBB، تیر را بر اساس توابع نرمی و حجم موردبررسی قرار می‌گیرد. شرایط بارگذاری و تکیه‌گاهی سازه موردبررسی در شکل (۱۲) مشخص شده است و نتایج حاصل از بهینه‌سازی توپولوژی دو هدفه در جدول (۲) ارائه گردیده است.

اکثر مقالات بهینه‌سازی توپولوژی با بار وارده ۱ نیوتون و مدول یانگ ۱ نیوتون بر مترمربع و نسبت پواسون  $0.3$  در نظر گرفته می‌شود [1,3,14,15] و برای اینکه بتوان با سایر مقالات و روش‌ها مقایسه نمود، در این مقاله همین مثال مورد بررسی قرار گرفته است. برای مش‌بندی از ۳۰۰۰ المان تنش مسطح چندضلعی غیریکنواخت استفاده شد. نتایج حاصل از دو روش تابع جریمه پیوسته و گسسته در جدول (۱) آورده شده است.

جدول ۱ مقایسه پارامتر جریمه گسسته و پیوسته در دامنه محدب

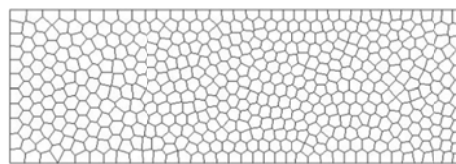
تیر MBB

جریمه	تابع هدف
۱/۵	۱۸۷/۱۷۵
[۱-۱/۵]	۱۸۷/۱۳۶
۲	۱۹۴/۲۹۴
[۱-۲]	۱۹۳/۸۰۸
۲/۵	۱۹۸/۹۹۳
[۱-۲/۵]	۱۹۸/۶۱۷
۳	۲۰۱/۷۶۱
[۱-۳]	۲۰۰/۷۶۹
۳/۵	۲۰۶/۹۳۲
[۱-۳/۵]	۲۰۶/۸۱۴
۴	۲۱۲/۹۹۸
[۱-۴]	۲۱۱/۸۹۴

همان‌طور که از جدول (۱) مشاهده می‌شود، نتایج به‌دست‌آمده از پارامتر جریمه پیوسته نسبت به پارامتر جریمه گسسته اعداد بهتری ارائه می‌دهد و در نتیجه ادامه این مقاله از پارامتر جریمه پیوسته استفاده شده است.

در مسائل بهینه‌سازی چندهدفه، چند هدف به‌طور هم‌زمان بهینه می‌شوند و توابع هدف در مسائل بهینه‌سازی چندهدفه با مش‌بندی مربعی معمولاً کمینه کردن نرمی و کمینه کردن حجم [16]، بیشینه کردن مقدار ویژه، کمینه کردن حداکثر تغییر مکان زیر بارگذاری‌ها [17]، حداکثر کردن انعطاف‌پذیری به











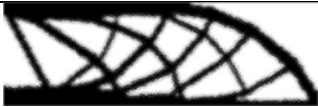
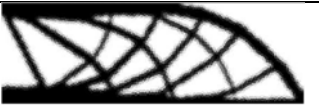



توپولوژی‌های مختلف روبرو هستیم. در کسرهای حجمی بزرگ، به دلیل مبهم بودن نحوه چیدمان مواد، نمی‌توان از روی آن‌ها، توپولوژی نهایی مناسب را تشخیص داد و همچنین با انتخاب کسر حجمی کوچک برخی از اعضا، از توپولوژی سازه حذف می‌شوند. همان‌طور که از روی نمودار دیده می‌شود که در محدوده‌ی میانی نمودار نیز تراکم نقاط نسبت به هم بیشتر می‌شود و از این رو جواب مناسب بهینه توپولوژی در نمودار پارتو در محدوده وسط نمودار قرار می‌گیرد.



شکل ۱۲ مسئله تیر MBB، هندسه و شرایط مرزی با دامنه محدب

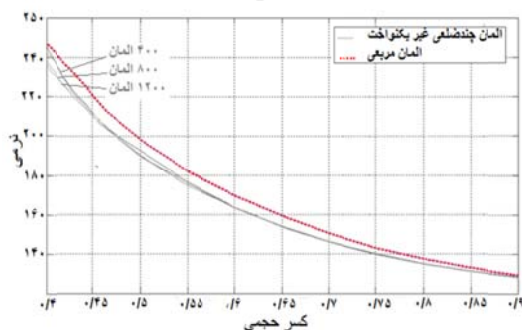
همچنین نمودار پارتو مربوط به تیر MBB با شرایط بارگذاری توضیح داده شده در شکل (۱۳) ردیابی می‌گردد. همان‌طور که مشاهده می‌شود در مسائل با داشتن دو تابع هدف، با یک نمودار پارتو و مجموعه‌ای از

جدول ۲ برخی از نتایج بهینه‌سازی توپولوژی دو هدفه در تیر MBB با ۳۰۰۰ المان

 کسر حجمی: ۰/۹ نرمی: ۱۲۸/۴	 کسر حجمی: ۰/۸۵ نرمی: ۱۳۱/۲	 کسر حجمی: ۰/۸ نرمی: ۱۳۵/۱
 کسر حجمی: ۰/۷۵ نرمی: ۱۳۹/۷	 کسر حجمی: ۰/۷ نرمی: ۱۴۵/۹	 کسر حجمی: ۰/۶۵ نرمی: ۱۵۳/۹
 کسر حجمی: ۰/۶ نرمی: ۱۶۳/۷	 کسر حجمی: ۰/۵۵ نرمی: ۱۷۶/۶	 کسر حجمی: ۰/۵۰۳۲ نرمی: ۱۹۱/۷
 کسر حجمی: ۰/۴۶۶۱ نرمی: ۲۰۳/۴	 کسر حجمی: ۰/۴۰۶۹ نرمی: ۲۳۹/۰	 کسر حجمی: ۰/۳۸۹۷ نرمی: ۲۵۴/۵
 کسر حجمی: ۰/۳۵۲۳ نرمی: ۲۸۲/۷	 کسر حجمی: ۰/۳۳۱۸ نرمی: ۳۰۰/۵	 کسر حجمی: ۰/۳۰۲۷ نرمی: ۳۳۴/۲



نمودار پارتو با مش بندی مربعی قرار می گیرد. به عنوان مثال در یک حجم مشخص، استفاده از مش بندی چندضلعی غیریکنواخت، مقدار نرمی کمتر و بهتری را در اختیار ما قرار می دهد. حال با توجه به مثال فوق که با مقایسه بین نتایج حاصل از مش بندی مربعی و چندضلعی غیریکنواخت تیر MBB درمی یابیم که نتایج ردیابی منحنی پارتو در حالت مش بندی با المان های چندضلعی به جواب های قابل قبول تری می دهد.



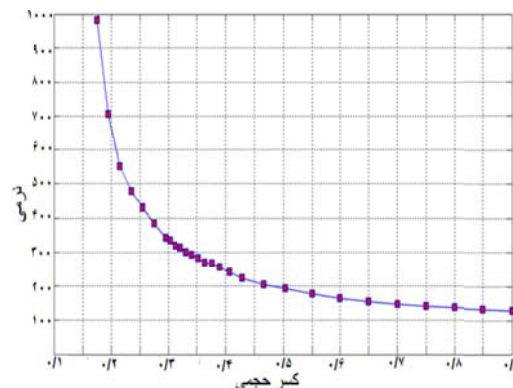
شکل ۱۵ مقایسه بهینه پارتو تیر MBB با المان های مربعی و المان های چندضلعی غیریکنواخت

در ادامه تأثیر تعداد المان ها بر روی نتایج منحنی پارتو بررسی می گردد، به این منظور مسئله تیر MBB را با تعداد المان های غیریکنواخت ۸۰۰، ۴۰۰ و ۱۲۰۰ را اجرا کرده و نمودار پارتو را برای هر یک از آن ها به دست آورده و با نتیجه منحنی پارتو با المان مربعی با تعداد ۶۰×۲۰ مقایسه می شود.

در هر بار اجرای برنامه ی متلب، زمان را با دقت دقیقه با رایانه شخصی با مشخصات ( CPU:Core2 GHZ T6670 2.2G /RAM:2G ) اندازه گیری نموده و تأثیر استفاده از المان های چندضلعی غیریکنواخت و همچنین افزایش تعداد المان بر روی زمان اجرای برنامه مورد بررسی قرار داده شد.

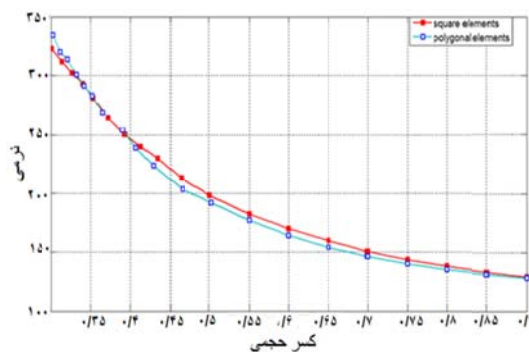
جدول ۳ مقایسه زمان اجرای برنامه متلب برای المان های چندضلعی غیریکنواخت و مربعی

تعداد المان	المان غیریکنواخت	المان مربعی	درصد کاهش زمان
۴۰۰	۲۳۱ دقیقه	۷۱۰ دقیقه	٪۶۵/۴۶
۸۰۰	۳۹۵ دقیقه	۱۲۳۱ دقیقه	٪۶۷/۹۱
۱۲۰۰	۴۹۸ دقیقه	۱۴۹۷ دقیقه	٪۶۶/۷۳



شکل ۱۳ ردیابی بهینه پارتو تیر MBB با المان های چندضلعی غیریکنواخت

برای بررسی اعتبارسنجی، نمودار پارتو به دست آمده با نمودار پارتو توپولوژی به دست آمده از روش سوروش [1] با مش بندی چهارضلعی (مربعی) و با توابع هدف مشابه مقایسه می گردد. هر دو مثال برای تیر MBB با ۱۲۰۰ المان برای مش بندی چندضلعی و تعداد ۶۰×۲۰ المان برای مش بندی مربعی اجرا شده است و توابع هدف نرمی و حجم به یک گونه تعریف شده اند. برای مقایسه نمودارها هر دو نمودار پارتو برحسب نرمی و کسر حجمی در شکل (۱۴) رسم شده است.

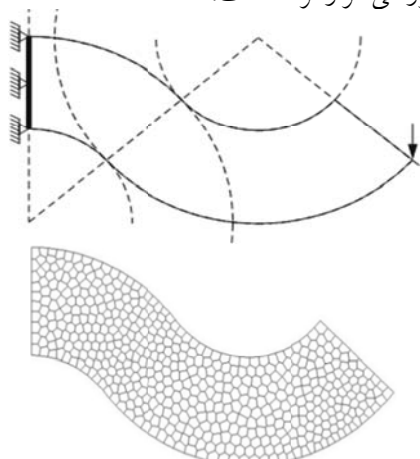


شکل ۱۴ مقایسه بهینه پارتو تیر MBB با المان های چندضلعی غیریکنواخت و المان های مربعی در مقاله سوروش [1].

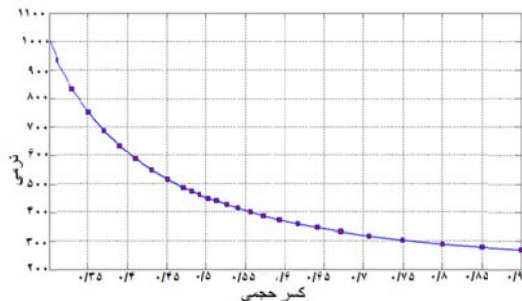
همان طور که از شکل (۱۴) مشخص است، با مقایسه دو منحنی پارتو دیده می شود که نتایج بهینه سازی توپولوژی با مش بندی چندضلعی از نتایج به دست آمده از روش مش بندی مربعی، بهتر می باشد و نمودار پارتو به دست آمده از روش مش بندی چندضلعی در پایین

نظر گرفته شده است.

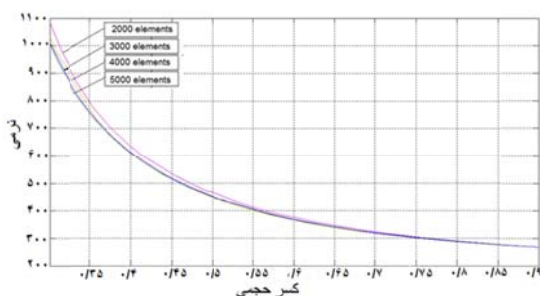
جدول (۴) نتایج بهینه‌سازی ارائه شده در برنامه متلب را نشان می‌دهد و همچنین نمودار پارتو تیر Serpentine با المان‌های چندضلعی غیریکنواخت در شکل (۱۷) نشان داده شده است و همچنین تأثیر افزایش تعداد المان بر روی دامنه‌ی غیر محدب در شکل (۱۸) مورد بررسی قرار گرفته است.



شکل ۱۶ مسئله تیر Serpentine، هندسه و شرایط مرزی با دامنه غیر محدب



شکل ۱۷ ردیابی بهینه پارتو تیر Serpentine با ۳۰۰۰ المان چندضلعی غیریکنواخت



شکل ۱۸ بررسی روند تغییر در منحنی پارتو تیر Serpentine با افزایش تعداد المان



















همان‌طور که از جدول (۳) مشهود است، با افزایش تعداد المان‌ها و ریز شدن مش‌بندی‌ها، زمان محاسبات افزایش می‌یابد. همین‌طور که در شکل (۱۵) دیده می‌شود ریزتر شدن مش‌بندی‌ها، نتایج حاصل از منحنی پارتو را بهبود داده و دقت محاسبات بیشتر می‌شود. زمان اجرای برنامه در مش‌بندی چندضلعی غیر-یکنواخت از ثلث زمان اجرا در مش‌بندی مربعی کمتر است و در نتیجه می‌توان در زمان کمتر به نتایج قابل قبول‌تری با المان‌های غیریکنواخت دست یافت.

در طراحی‌های گسترده و سازه‌ها، افزایش تعداد المان در بعضی موارد مقرون به صرفه نمی‌باشد و باید جنبه اقتصادی و زمان اجرا را در نظر گرفت. افزایش تعداد المان در چندضلعی غیریکنواخت، در نمودار پارتو تغییرات زیادی ایجاد نمی‌کند. در نتیجه با مش-بندی چندضلعی غیریکنواخت می‌توان با تعداد المان کمتر، جواب‌های قابل قبولی را به دست آورد.

طبق نتایج ارائه شده مشاهده می‌شود که زمان محاسبات، بیش از ۶۵ درصد کاهش می‌یابد. علت کاهش زمان محاسبات را می‌توان کم شدن زمان محاسبات مرتبط با فیلترینگ دانست. در نتیجه چون در اکثر طراحی‌ها تابع هدف کمینه کردن وزن یا حجم بجای کمینه کردن هزینه استفاده می‌شود با استفاده از بهینه‌سازی توپولوژی چندهدفه با المان چندضلعی غیریکنواخت، می‌توان سازه‌هایی سبک وزن، کم قیمت با بازدهی بالا طراحی نمود. کاهش زیاد زمان محاسبات از یک سو و نزدیک بودن طرح نهایی تیر MBB ارائه شده توسط المان‌های غیریکنواخت، به طرح بهینه ارائه شده توسط میشل [6] از سو دیگر علت‌های اصلی اقتصادی بودن روش چندضلعی غیریکنواخت می‌باشد.

در ادامه، مسئله معروف تیر Serpentine با دامنه طراحی و شرایط تکیه‌گاهی مانند شکل (۱۶) را با تعداد ۳۰۰۰ المان به‌عنوان نماینده‌ای از مسائل توپولوژی دامنه‌ی غیرمحدب مورد بررسی قرار می‌گیرد. مشخصات این مثال، همانند مشخصات ارائه شده در سایر مقالات برای این مسئله، بار وارده ۱ نیوتون و مدول یانگ ۱ نیوتون بر مترمربع و نسبت پواسون ۰/۳ در

جدول ۴ برخی از نتایج بهینه‌سازی توپولوژی دو هدفه تیر Serpentine با ۳۰۰۰ المان چندضلعی غیریکنواخت

 <p>کسر حجمی: ۰/۹ نرمی: ۲۶۹/۰</p>	 <p>کسر حجمی: ۰/۱۸۵ نرمی: ۲۷۷/۸</p>	 <p>کسر حجمی: ۰/۱۸ نرمی: ۲۸۸/۸</p>
 <p>کسر حجمی: ۰/۱۷۵ نرمی: ۳۰۲/۸</p>	 <p>کسر حجمی: ۰/۱۷۰۷۵ نرمی: ۳۱۷/۴</p>	 <p>کسر حجمی: ۰/۱۶۷۱۰ نرمی: ۳۳۰/۲</p>
 <p>کسر حجمی: ۰/۱۶۴۱۴ نرمی: ۳۴۵/۷</p>	 <p>کسر حجمی: ۰/۱۵۹۳۳ نرمی: ۳۷۴/۰</p>	 <p>کسر حجمی: ۰/۱۵۴۰۹ نرمی: ۴۱۳/۸</p>
 <p>کسر حجمی: ۰/۱۵۰۳۰ نرمی: ۴۴۸/۹</p>	 <p>کسر حجمی: ۰/۱۴۹۱۸ نرمی: ۴۶۲/۰</p>	 <p>کسر حجمی: ۰/۱۴۵۰۸ نرمی: ۵۳۴/۵</p>
 <p>کسر حجمی: ۰/۱۴۱۰۸ نرمی: ۶۱۴/۴</p>	 <p>کسر حجمی: ۰/۱۳۹۰۸ نرمی: ۶۶۵/۰</p>	 <p>کسر حجمی: ۰/۱۳۵۰۸ نرمی: ۸۰۱/۰</p>
 <p>کسر حجمی: ۰/۱۳۳۰۸ نرمی: ۸۹۵/۷</p>	 <p>کسر حجمی: ۰/۱۳۱۰۸ نرمی: ۱۰۱۱/۳</p>	 <p>کسر حجمی: ۰/۱۲۹۰۸ نرمی: ۱۲۸۱/۶</p>

کارهای مناسب و اقتصادی برای یافتن سازه بهینه هستند. استفاده از روش مش‌بندی با المان‌های چند-ضلعی غیریکنواخت این امکان را ایجاد می‌کند که هر نوع سازه با هر شکل و شرایط تکیه‌گاهی را بتوان به راحتی مدل نموده و مش بندی و سپس بهینه کرد. با استفاده از بررسی‌های مختلفی که صورت گرفته است، نتایج بهینه‌سازی توپولوژی با استفاده از این مش‌بندی بسیار مناسب‌تر از مش‌بندی‌های مربعی عمل نموده و دیگر به فیلترینگ که یک روش غیراقتصادی است، نیازی نیست. مش‌بندی غیریکنواخت به دلیل کاهش زمان اجرای برنامه تا بیش از یک سوم ( $\frac{1}{3}$ ) مقرون‌به‌صرفه است و با مش‌بندی چندضلعی غیریکنواخت می‌توان با تعداد المان کمتر، جواب‌های قابل قبول‌تری را به دست آورد. در نتیجه استفاده از بهینه‌سازی توپولوژی چندهدفه با مش‌بندی غیریکنواخت، راه‌حل‌های بهتر و دقیق‌تری نسبت به مش‌بندی مربعی در اختیار قرار می‌دهد و نمودار پارتو بهبود یافته‌ای را در اختیار کاربران قرار می‌دهد.

با توجه به نتیجه به دست‌آمده برای تیر serpentine مشاهده می‌شود که می‌توان از مش‌بندی غیریکنواخت برای به دست آوردن طرح توپولوژی برای دامنه‌های غیرمحدب استفاده کرد و نمودار پارتو را ردیابی نمود. با استفاده از المان‌های غیریکنواخت می‌توان به راحتی هر دامنه طراحی غیرمحدب و یا دارای بازشو را مدل کرد و نتایج را بررسی نمود. یکی از مشکلات استفاده از شبکه‌های یکنواخت، مشکل گسسته‌سازی دامنه طراحی و دقت در نشان‌دادن بارگذاری و شرایط مرزی است که المان‌های چندضلعی غیریکنواخت، با فراهم کردن گسسته‌سازی انعطاف-پذیرتر در دامنه‌های پیچیده، می‌تواند در گسسته‌سازی بهینه‌سازی توپولوژی کارآمدتر باشد. همچنین با توجه به شکل (۱۸) مشاهده می‌شود که افزایش تعداد المان بر روی نتایج تأثیر زیادی ندارد و می‌توان برای دامنه غیرمحدب نیز با تعداد المان کمتر به نتایج قابل قبولی دست یافت.

### نتیجه‌گیری

با توجه به اینکه روزبه‌روز بر اهمیت بهینه‌سازی در سازه‌ها افزوده می‌شود. مهندسين سازه به دنبال راه-

### مراجع

1. Suresh, K. A., 199-line Matlab code for Pareto-optimal tracing in topology optimization, *Structural and Multidisciplinary Optimization*, Vol. 42, No. 5, pp. 665-679, (2010).
2. Sigmund, O. and J. Petersson, "Numerical instabilities in topology optimization: a survey on procedures dealing with checkerboards", mesh-dependencies and local minima. *Structural optimization*, Vol. 16. No. 1, pp. 68-75, (1998).
3. Talischi, C., Paulino, G.H., and Le, C.H., "Topology optimization using Wachspress-type interpolation with hexagonal elements", *Multiscale and functionally graded materials*, Vol. 973. No. 1, pp. 309-316, (2006).
4. Talischi, C., Paulino, G. H., Pereira, A. and Menezes, I. F., "Polygonal finite elements for topology optimization: a unifying paradigm", *International journal for numerical methods in engineering*, Vol. 82, No. 6, pp. 671-698, (2010).
5. Talischi, C., Paulino, G.H. and Le, C.H., "Honeycomb Wachspress finite elements for structural topology optimization". *Structural and Multidisciplinary Optimization*, Vol. 37, No. 6, pp. 569-583, (2009).

6. Rozvany, G.I., "A critical review of established methods of structural topology optimization", *Structural and Multidisciplinary Optimization*, Vol. 37, No. 3, pp. 217-237, (2009).
7. Du, Q., Faber, V. and Gunzburger, M., "Centroidal Voronoi tessellations: applications and algorithms". *SIAM review*, Vol. 41, No. 4, pp. 637-676, (1999).
8. Talischi, C., Paulino, G.H., Pereira, A. and Menezes, I. F., "PolyMesher: a general-purpose mesh generator for polygonal elements written in Matlab", *Structural and Multidisciplinary Optimization*, Vol. 45, No. 3, pp. 309-328, (2012).
9. Sieger, D., Alliez, P. and Botsch, M., "Optimizing voronoi diagrams for polygonal finite element computations", in *Proceedings of the 19th international meshing roundtable*, Springer, pp. 335-350, (2010).
10. Du, Q., Emelianenko, M., and Ju, L., "Convergence of the Lloyd algorithm for computing centroidal Voronoi tessellations", *SIAM journal on numerical analysis*, Vol. 44, No. 1, pp. 102-119, (2006).
۱۱. اکبرزاعی، مهناز، «بهینه‌سازی توپولوژی چندهدفه در سازه‌های پیوسته»، (پایان‌نامه کارشناسی ارشد)، دانشگاه یزد، (۱۳۹۴).
12. Sukumar, N. and Tabarraei, A., "Conforming polygonal finite elements", *International Journal for Numerical Methods in Engineering*, Vol. 61, No. 12, pp. 2045-2066, (2004).
13. Madeira, J.A., Rodrigues, H. and Pina, H., "Multi-objective optimization of structures topology by genetic algorithms", *Advances in Engineering Software*, Vol. 36, No. 1, pp. 21-28, (2005).
14. Sigmund, O., "A 99 line topology optimization code written in Matlab", *Structural and multidisciplinary optimization*, Vol. 21, No. 2, pp.120-127, (2001).
15. Andreassen, E., Clausen, A., Schevenels, M., Lazarov, B. S., and Sigmund, O., "Efficient topology optimization in MATLAB using 88 lines of code", *Structural and Multidisciplinary Optimization*, Vol. 43, No. 1, pp. 1-16, (2011).
16. Bendsoe, M.P. and Sigmund, O., "Topology optimization: Theory", methods and applications. Springer, Berlin, (2003).
17. Hamda, H., Roudenko, O., and Schoenauer, M., "Application of a multi-objective evolutionary algorithm to topology optimum design", in *Fifth international conference on adaptive computing in design and manufacture*, (2002).
18. Luo, Z., Chen, L., Yang, J., Zhang, Y., and Abdel-Malek, K., "Compliant mechanism design using multi-objective topology optimization scheme of continuum structures", *Structural and Multidisciplinary Optimization*, Vol. 30, No. 2, pp. 142-15, (2005).

